

Mellom data og innsikt bor metodene

10. januar 2019

Ingrid K. Glad, Matematisk institutt, UiO





Senter for
forskingsdrevet
innovasjon

Norges forskningsråd

BigInsight

STATISTICS FOR THE KNOWLEDGE ECONOMY



UiO • **University of Oslo**





Skatteetaten



DNV-GL



HYDRO



UiO : University of Oslo



UNIVERSITETET I BERGEN





BigInsight

Personalised solutions

Transient prediction



Helse



Markedsføring



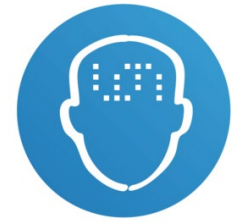
Svindel



Sensorer



Energi



Forklarbar AI

nyskapende – nøyaktig – ansvarlig – forklarlig – åpen – rettferdig

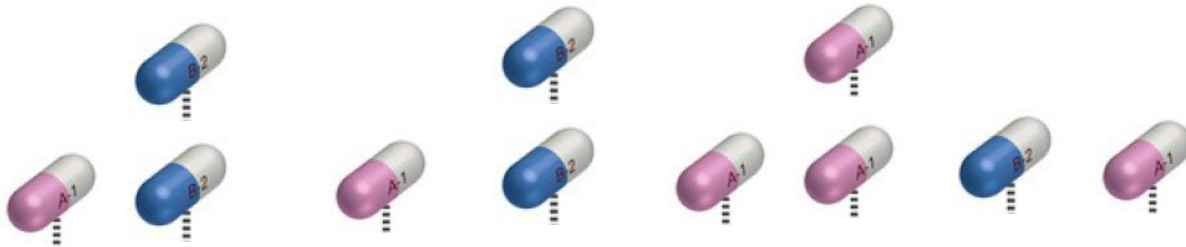


PERSONTILPASSET CANCER-TERAPI

Persontilpasset cancer-terapi: Gi hver enkelt pasient skreddersydd behandling



- mange ulike medisiner
- mange kombinasjoner
- ulike doser
- i ulik rekkefølge



→ tid

Mange virtuelle kopier av samme pasient

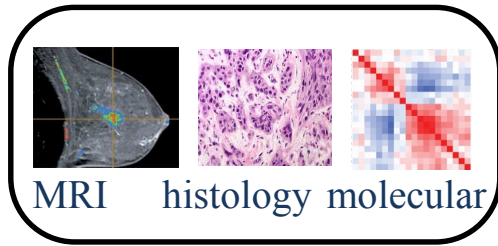


- Simulerer terapi-strategier
- Hvilken virket best?

kreft-pasient

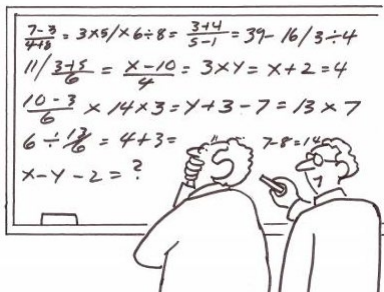


personlige
kliniske
data



MRI histology molecular

multi-skala
matematisk
modell
for cancer-
vekst



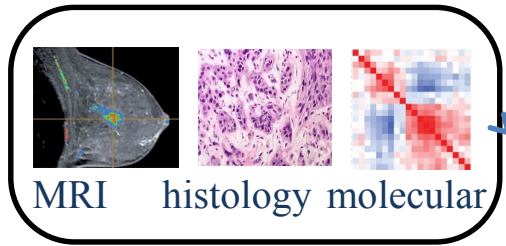
$$\begin{aligned} \frac{d[\text{TP53}]_x}{dt} &= k_7 - k_7' \frac{K(\mathbf{x}, t)}{K_{\text{TP53}} + K(\mathbf{x}, t)} [\text{TP53}]_x, \\ \frac{d[\text{sVEGF}]_x}{dt} &= k_8 - k_8' \frac{K(\mathbf{x}, t)}{K_{\text{VEGF}} + K(\mathbf{x}, t)} [\text{sVEGF}]_x + k_8'' \frac{[\text{TP53}]_x [\text{sVEGF}]_x}{J_5 + [\text{sVEGF}]_x} \\ s_K \frac{\partial K}{\partial t} - D_K \nabla^2 K &= r_k (K_0 - K) \mathcal{G}(\mathbf{x}, t) - \frac{\phi_k K}{K_1 + K} \delta(\mathbf{x}, t) \\ s_V \cdot \frac{\partial V}{\partial t} - D_V \nabla^2 V &= r_v ([\text{sVEGF}]_x) \delta(\mathbf{x}, t) + k_d C - k_a A_e V - \psi_v V, \\ s_A \cdot \frac{\partial A}{\partial t} - D_A \nabla^2 A &= r_A (A_1(t) - A) \mathcal{G}(\mathbf{x}, t) + k_d C - k_a A_e V \\ \frac{\partial G^j}{\partial t} - D_{G^j} \nabla^2 G^j &= r_{G^j} (G_1^j(t) - G^j) \mathcal{G}(\mathbf{x}, t) - \psi_{G^j} G^j \\ \frac{dG_1^2(t)}{dt} &= -\frac{q_2}{w_1} G_2^2(t) - \frac{q_3}{w_1} G_3^2(t) - \frac{cl_2}{w_1} G_1^2(t) + \frac{q_3}{w_3} G_3^2(t) + \frac{q_2}{w_2} G_2^2(t) \\ \frac{dG_2^2(t)}{dt} &= -\frac{q_2}{w_2} G_2^2(t) + \frac{q_2}{w_1} G_1^2(t) & \frac{dA_1(t)}{dt} &= -\frac{q}{v_1} A_1(t) - \frac{cl}{v_1} A_1(t) + \frac{q}{v_2} A_2(t) \\ \frac{dG_3^2(t)}{dt} &= -\frac{q_3}{w_3} G_3^2(t) + \frac{q_3}{w_1} G_1^2(t) & \frac{dA_2(t)}{dt} &= -\frac{q}{v_2} A_2(t) + \frac{q}{v_1} A_1(t), \end{aligned}$$

Modellere biologiske prosesser
- cellevekst og respons på medisin

kreft-pasient

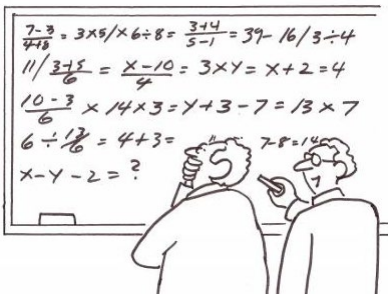


personlige kliniske data



MRI histology molecular

multi-skala matematisk modell for cancer-vekst



$$\frac{d[\text{TP53}]_x}{dt} = k_7 \frac{K(x,t)}{K_{\text{TP53}} + K(x,t)} [\text{TP53}]_x,$$

$$\frac{d[\text{sVEGF}]_x}{dt} = k_8 \frac{K(x,t)}{K_{\text{VEGF}} + K(x,t)} [\text{sVEGF}]_x + k_8'' \frac{[\text{TP53}]_x [\text{sVEGF}]_x}{J_5 + [\text{sVEGF}]_x}$$

$$s_K \frac{\partial K}{\partial t} - D_k \nabla^2 K = r_k (K_0 - K) \mathcal{G}(x,t) - \frac{\phi_k K}{K_1 + K} \delta(x,t)$$

$$s_V \cdot \frac{\partial V}{\partial t} - D_v \nabla^2 V = r_v ([\text{sVEGF}]_x) \delta(x,t) - k_d V - k_a A_e V - \psi_v V,$$

$$s_A \cdot \frac{\partial A}{\partial t} - D_A \nabla^2 A = r_A (A_1(t) - A) \mathcal{G}(x,t) - k_d A - k_a A V$$

$$\frac{\partial G^j}{\partial t} - D_{G^j} \nabla^2 G^j = r_{G^j} (G_1^j(t) - G^j) \mathcal{G}(x,t) - \psi_{G^j} G^j$$

$$\frac{dG_1^2(t)}{dt} = -\frac{q_2}{w_1} G_2^2(t) - \frac{q_3}{w_1} G_3^2(t) - \frac{cl_2}{w_1} G_1^2(t) + \frac{q_3}{w_3} G_3^2(t) + \frac{q_2}{w_2} G_2^2(t)$$

$$\frac{dG_2^2(t)}{dt} = -\frac{q_2}{w_2} G_2^2(t) + \frac{q_2}{w_1} G_1^2(t) \quad \frac{dA_1(t)}{dt} = -\frac{q}{v_1} A_1(t) - \frac{cl}{v_1} A_1(t) + \frac{q}{v_2} A_2(t)$$

$$\frac{dG_3^2(t)}{dt} = -\frac{q_3}{w_3} G_3^2(t) + \frac{q_3}{w_1} G_1^2(t) \quad \frac{dA_2(t)}{dt} = \frac{q}{v_2} A_2(t) + \frac{q}{v_1} A_1(t),$$

Estimere parametre fra pasient-data

Persontilpassede simuleringer av behandlings-strategier

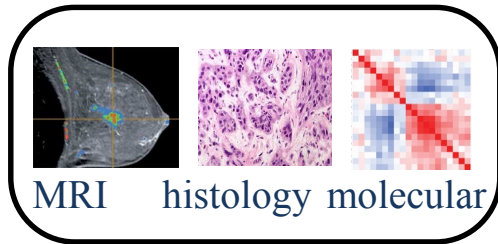
kreft-pasient



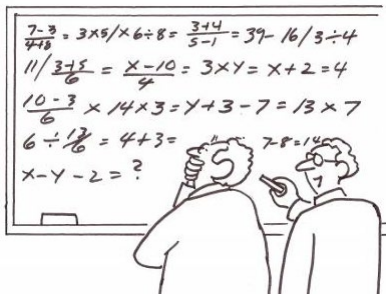
onkolog



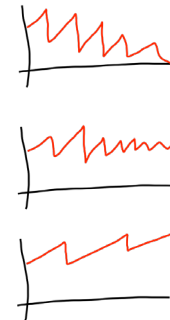
personlige
kliniske
data



multi-skala
matematisk
modell
for cancer-
vekst



persontilpassede simuleringer

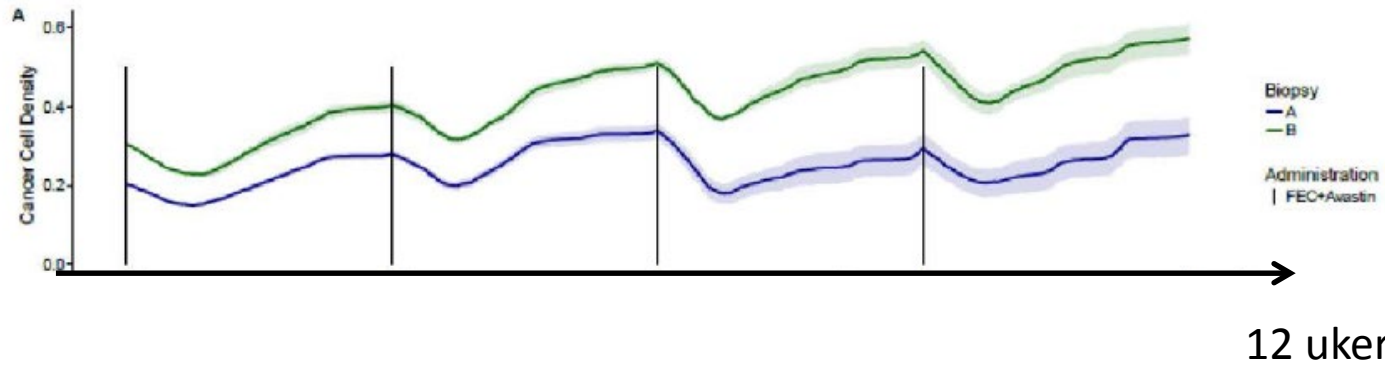


strategi 3

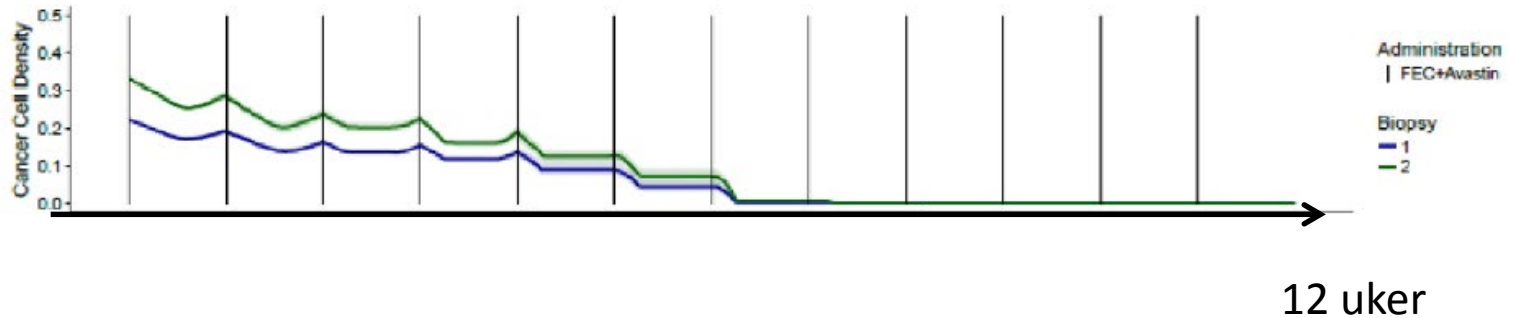
strategi 2

strategi 1

Uncertainty



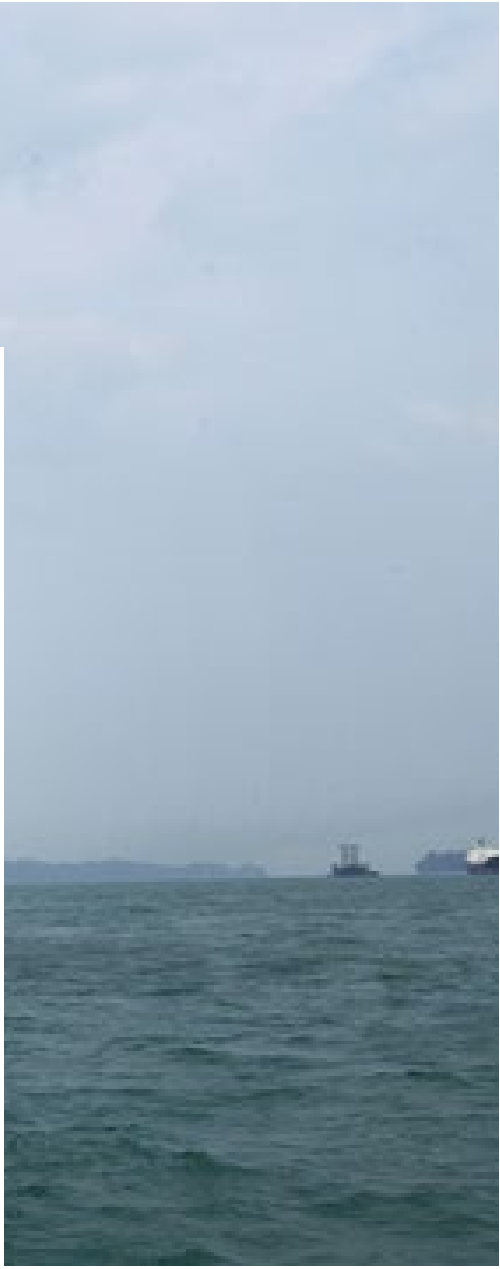
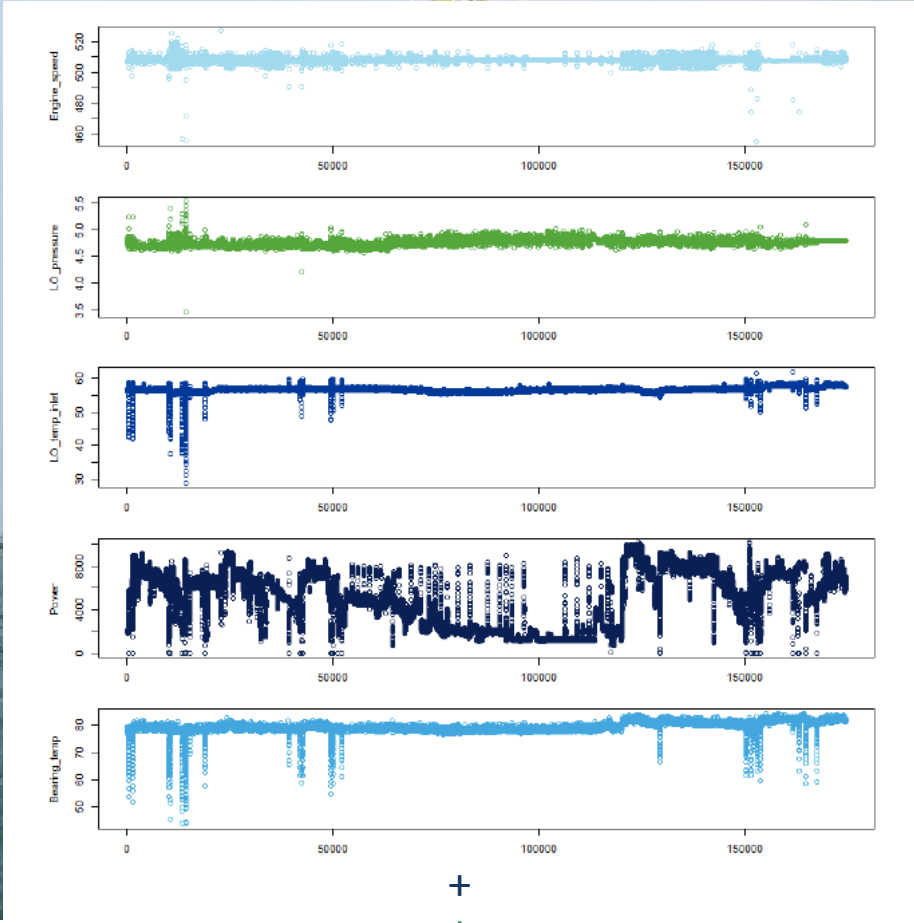
Kjemoterapi hver 3. uke



Kjemoterapi hver uke i stedet

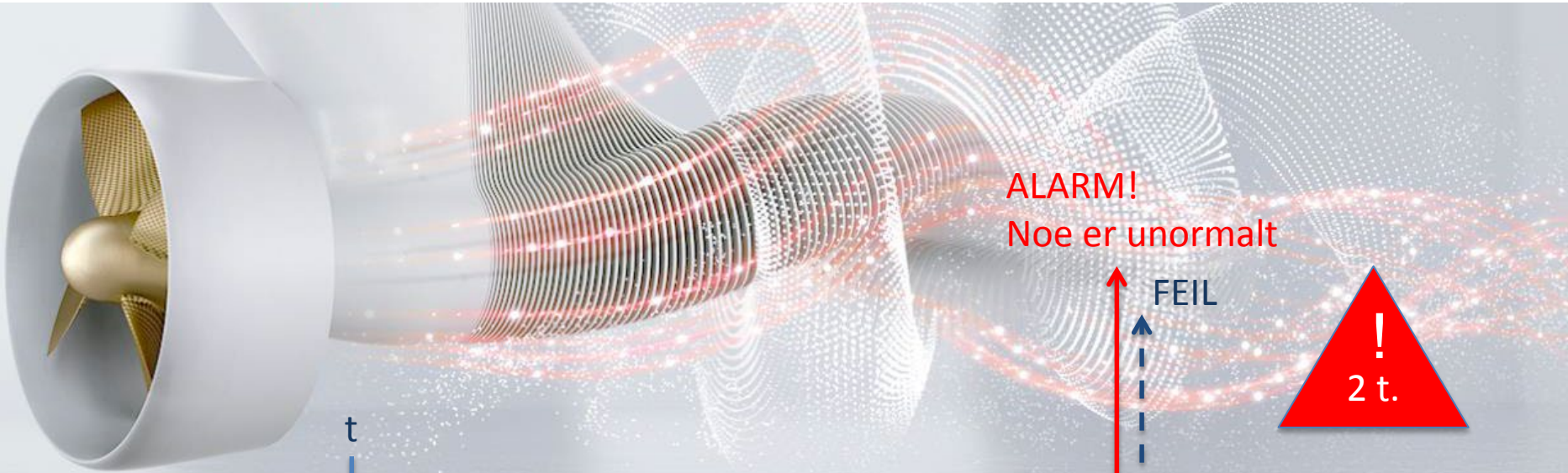


SENSOR-DATA FOR SIKKERHET TIL SJØS



+
+
+

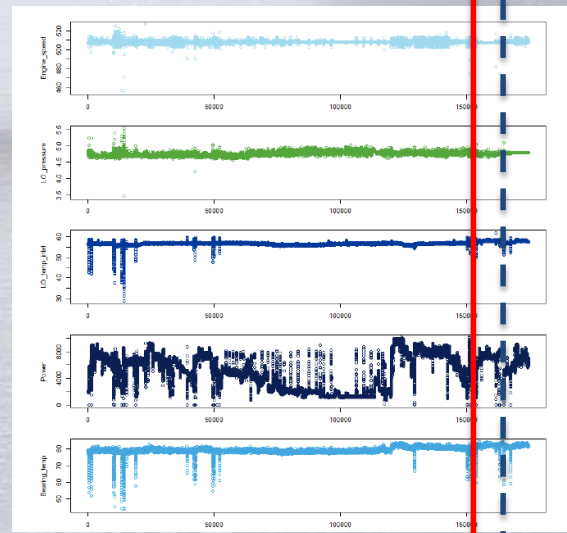
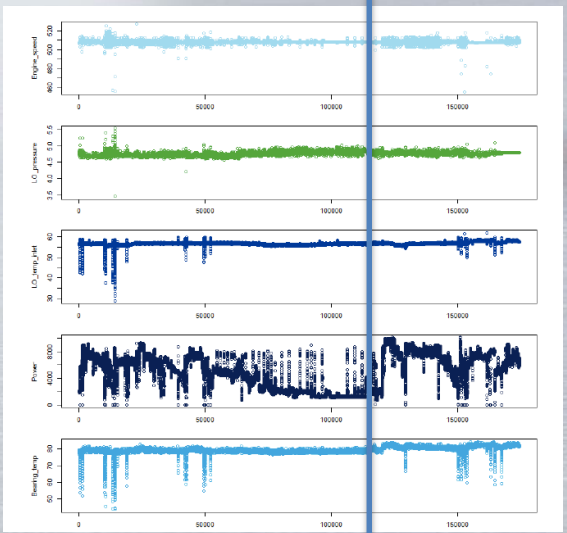




ALARM!
Noe er unormalt



FEIL



svindel
churn
++

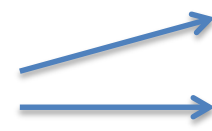
Lære fra
normale
tilstander

For ethvert tidspunkt t :
observer og rekonstruer

residual _{t}
test _{t}

ALARM
trenger mer obs
NORMALT

t

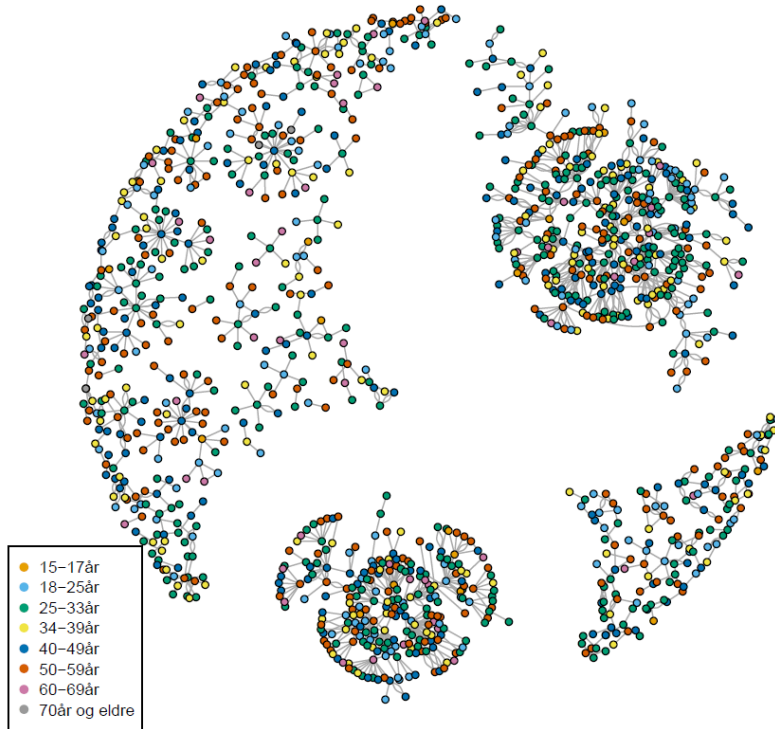


An aerial photograph of a busy city street paved with blue cobblestones. The street is filled with a diverse crowd of people walking in various directions. The image is overlaid with a semi-transparent grid of white binary code (0s and 1s) that covers the entire scene. In the center of the image, the text "VIPPS! – SOM ILD I GRESS" is written in a clean, white, sans-serif font. The overall composition suggests a connection between digital technology and the physical world of urban life.

VIPPS! – SOM ILD I GRESS

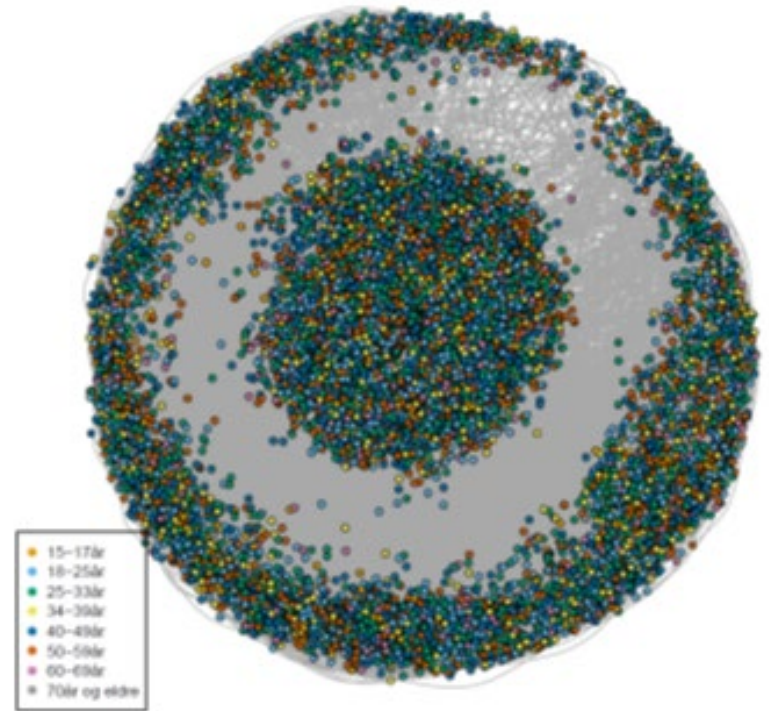
Vipps-nettverket: Den første uken

30. mai 2015



Datsett første 1.5 år:
1.8 millioner brukere
28.9 million transaksjoner

5. juni 2015



Hva er underliggende vekst-modell for Vipps-nettverket?

Kombinasjon av

- preferanse-modell (jo flere kanter, jo mer sannsynlig å opprette nye)
- fitness-modell (hver node har egen innebygget egenskap («fitness»))

Likelihood-estimering fra 28.9 millioner transaksjoner gir en tilpasset vekstmodell

- preferanse-delen av modellen \approx Facebook og Twitter
- svært ulik fitness for ulike individer

Kan brukes til:

- Å få innsikt i struktur og prosess
- Identifisere nøkkelpersoner i nettverket
- Predikere fremtidig utvikling



BigInsight

BigInsight Day 2018 at DNB